

## ТОКИ ТЕРМОСТИМУЛИРОВАННОЙ ДЕПОЛЯРИЗАЦИИ В МОНОКРИСТАЛЛАХ $\text{CaIn}_2\text{S}_4$

© Б.Г. Тагиев, О.Б. Тагиев, Р.Б. Джаббаров, Н.Н. Мусаева

Институт физики Академии наук Азербайджана,

370143 Баку, Азербайджан

(Получена 17 апреля 1995 г. Принята к печати 23 ноября 1995 г.)

Впервые представлены результаты исследований токов термостимулированной деполяризации в монокристаллах  $\text{CaIn}_2\text{S}_4$ . Спектры термостимулированной деполяризации для структур  $\text{In}-\text{CaIn}_2\text{S}_4-\text{In}$  измерены при  $T = 99$  К, при различных скоростях нагрева, временах поляризации и временах ожидания после выключения электрического поля и до начала измерений тока короткого замыкания. Определены основные параметры центров захвата: глубина залегания  $E_t = 0.33$  эВ, сечение захвата  $S = 10^{-18} \text{ см}^2$ , частный фактор  $\nu = 10^8 \text{ с}^{-1}$ , концентрация ловушек  $N_t = 10^{15} \div 10^{16} \text{ см}^{-3}$ . Установлено, что в монокристаллах  $\text{CaIn}_2\text{S}_4$  имеет место бимолекулярный механизм сильным повторным захватом.

Метод исследования токов термостимулированной деполяризации (ТСД) является одной из разновидностей термоактивационной токовой спектроскопии [1-3] и применяется для изучения полупроводников, диэлектриков и структур на их основе. Метод ТСД обладает высокой чувствительностью и разрешающей способностью, позволяет исследовать электрофизические процессы, обусловленные ловушками. Измерение ТСД при различных скоростях нагрева, временах поляризации и временах ожидания после выключения электрического поля до начала измерений тока короткого замыкания позволяет выявить тонкую структуру центров захвата, определить их параметры, а также выяснить механизм рекомбинации.

В настоящей работе впервые представлены результаты исследований ТСД в монокристаллах  $\text{CaIn}_2\text{S}_4$ . Монокристаллы  $\text{CaIn}_2\text{S}_4$  нами получены методом газотранспортной реакции (переносчиком служил кристаллический йод). Газотранспортная реакция производилась в двухзонной печи с температурным градиентом  $130^\circ\text{C}$  ( $720 \div 850^\circ\text{C}$ ). В полученных образцах при комнатной температуре в интервале углов  $10^\circ \leq 2\theta \leq 90^\circ$  зафиксированы 13 четких дифракционных линий, однозначно идентифицируемых на основе параметра гранецентрированной кубической решетки  $a = (10.71 \pm 0.02)$  Å, пространственная группа  $O_h^7$  ( $Fd3m$ ), которые приводятся в работе [4] для  $\text{CaIn}_2\text{S}_4$ .

$\text{CaIn}_2\text{S}_4$  — широкозонный в полупроводник с удельным сопротивлением  $\rho \simeq 10^4 \div 10^5 \text{ Ом} \cdot \text{см}$  при 300 К обладает проводимостью *n*-типа. В соединениях типа  $\text{CaIn}_2\text{S}_4$  обнаружена эффективная высокотемпературная (до 500 К) [5] люминесценция под действием внешних факторов (электрическое поле, ультрафиолетовое и рентгеновское излучения), и в этом процессе важную роль играют центры захвата.

### Методика и результаты эксперимента

При измерении тока ТСД к структурам  $\text{In}-\text{CaIn}_2\text{S}_4-\text{In}$  (типа «сэндвич»), охлажденным до 99 К (когда вероятность теплового заброса электронов с центров прилипания ничтожно мала), в течение 20 мин было приложено электрическое поле, отвечающее нелинейной области вольт-амперной характеристики (ВАХ). Расстояние между электродами, т.е. толщина образцов монокристаллов  $\text{CaIn}_2\text{S}_4$ , было равно  $(2.0-2.8) \cdot 10^{-2} \text{ см}$ , а площадь токовых контактов —  $(2.0-2.5) \cdot 10^{-3} \text{ см}^2$ . После выключения электрического поля температура структур повышалась с постоянной скоростью  $\beta$  (т.е.  $T = T_0 + \beta t$ ) и регистрировались токи деполяризации в режиме короткого замыкания.

Результаты измерений при скорости нагрева  $\beta = 0.3 \text{ К/с}$  для различных приложенных электрических полей в диапазоне  $(1-4) \cdot 10^3 \text{ В/см}$

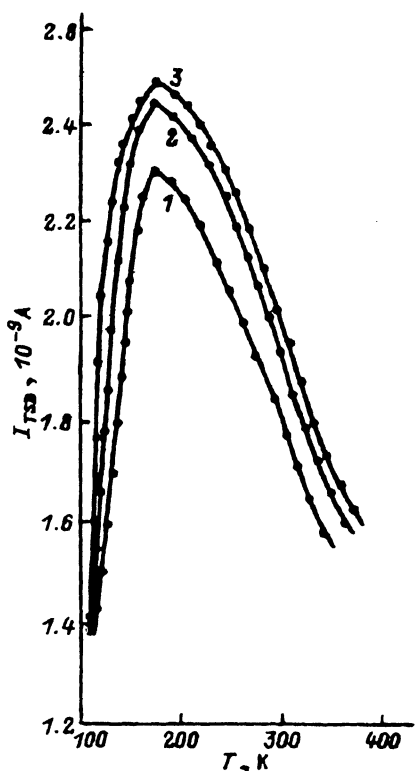


Рис. 1. Спектры термостимулированной деполяризации при электрических полях  $F$ , В/см: 1 —  $10^3$ , 2 —  $1.8 \cdot 10^3$ , 3 —  $4.0 \cdot 10^3$ .

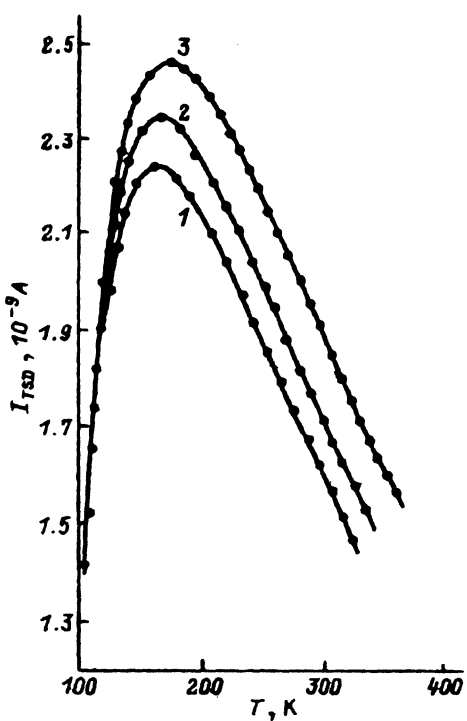


Рис. 2. Спектры термостимулированной деполяризации при скоростях нагрева  $\beta$ , К/с: 1 — 0.08, 2 — 0.16, 3 — 0.3.

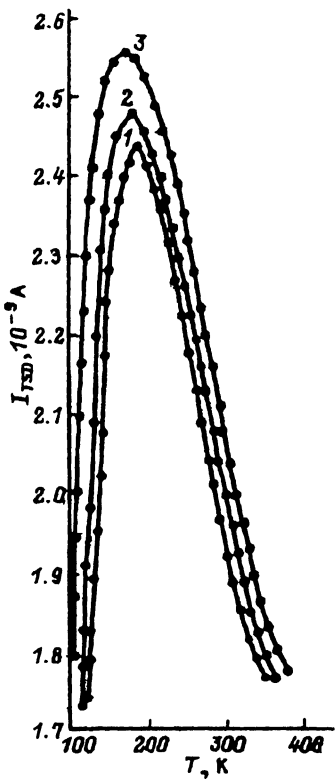


Рис. 3. Спектры термостимулированной деполяризации при временах поляризации  $t$ , мин: 1 — 5, 2 — 10, 3 — 20.

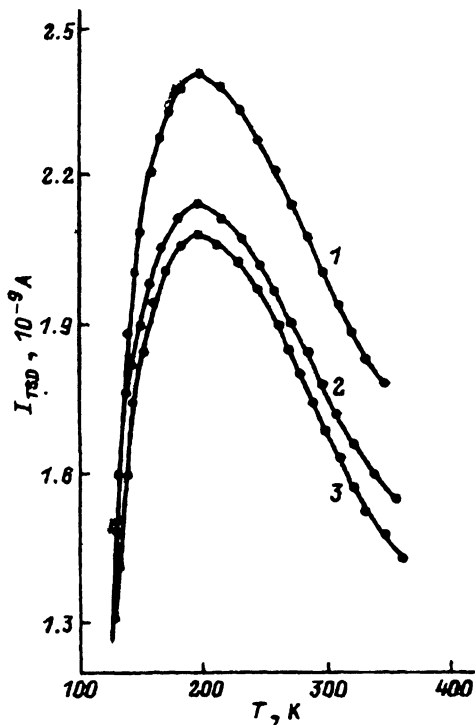


Рис. 4. Спектры термостимулированной деполяризации при временах ожидания  $t$ , мин: 1 — 5, 2 — 10, 3 — 15.

представлены на рис. 1. Отчетливо видно, что максимум в спектре ТСД по мере роста возбуждающего электрического поля увеличивается и смещается в сторону низких температур. На кривых 1–3 максимумы появляются при 184, 176 и 168 К соответственно.

Известно, что при быстром росте температуры на освобождение электронов требуется меньше времени и, следовательно, при соблюдении условий постоянства площади под спектральной кривой термостимулированный ток растет с увеличением скорости нагрева. Скорость выброса носителей зависит только от температуры, и поэтому рост термостимулированного тока по величине будет сопровождаться смещением пика в высокотемпературную область (рис. 2). Величина этого смещения связана с глубиной залегания уровня с энергией  $E_t$ .

Степень начального заполнения ловушек зависит от времени поляризации и времени ожидания после выключения возбуждающего электрического поля до начала измерения тока ТСД. Поэтому для структур In–CaIn<sub>2</sub>S<sub>4</sub>–In токи ТСД измерены при различных временах поляризации и ожидания (рис. 3, 4). Экспериментально показано, что температура максимума ТСД ( $T_M$ ) не зависит от времен поляризации и ожидания, при этом  $I_M$  (ток максимума ТСД) увеличивается с ростом времени поляризации, а с увеличением времени ожидания уменьшается. Из рис. 1 и 3 видно, что ток максимума ТСД  $I_M$  линейно зави-

сит от времени поляризации и поляризующего поля. Эти факты дают нам основания считать, что пик ТСД обусловлен миграцией заряда по центрам захвата.

## Обсуждение результатов

В соответствии с работами [6,7] максимум на кривой ТСД можно связать с определенными центрами захвата, расположенными в запрещенной зоне рассматриваемого материала. В случае структур In–CaIn<sub>2</sub>S<sub>4</sub>–In обнаружен один максимум, что свидетельствует о наличии дискретного центра захвата носителей тока в запрещенной зоне исследуемого материала. Экспериментальные данные, представленные на рис. 1–4 были проанализированы на основе теории [6,7], развитой для структур металл–диэлектрик–металл (МДМ). Это позволило нам определить основные параметры центра захвата (глубины залегания, сечения захвата, частотного фактора, концентрации ловушек и др.). В указанных работах получено выражение для определения глубины залегания центров захвата в МДМ структурах:

$$E_t (\text{эВ}) = 10^{-4} T_M \left[ 1.92 \lg \left( \frac{\nu}{\beta} \right) + 3.2 \right] - 0.0155, \quad (1)$$

где  $\nu$  — частотный фактор. Проведение измерений при разных скоростях нагрева позволяет легко определить частотный фактор. На основе данных, представленных на рис. 2, для частотного фактора найдена величина  $\nu = 10^8 \text{ с}^{-1}$  в монокристаллах CaIn<sub>2</sub>S<sub>4</sub>. Подставляя эту величину в (1), для величины  $E_t$  находим значение 0.33 эВ. Это значение близко к результатам определенным другими методами, которые указаны в таблице. Методы определения величины  $E_t$ , указанные в таблице буквами а и б, описываются выражениями

$$(a) \quad E_t = 22.5 k T_M,$$

$$(b) \quad E_t = \frac{k T_{M_1} T_{M_2}}{T_{M_1} - T_{M_2}} \left[ \ln \left( \frac{\beta_1}{\beta_2} \right) \left( \frac{T_{M_2}}{T_{M_1}} \right)^3 \right].$$

Концентрация ловушек определялась по формуле

$$N_t = \frac{k T_M^2 N_c}{E_t \tau \beta} \left( e - \frac{E_t}{k T_M} \right).$$

### Оценка параметров уровней, ответственных за пики в спектре ТСД

U, В	E <sub>t</sub> , эВ		Диапазон T вблизи T <sub>M</sub> , К	Концентрация ловушек N <sub>t</sub> , см <sup>-3</sup>
	а	б		
25	0.35 ± 0.02	—	138–272	10 <sup>15</sup> ÷10 <sup>16</sup>
50	0.34 ± 0.02	0.29 ± 0.03	130–278	—
100	0.32 ± 0.02	—	114–285	—

По величине частотного фактора в монокристаллах  $\nu$  по формуле  $S = \nu/N_c v$  ( $N_c = 10^{19} \text{ см}^{-3}$  — плотность состояния в зоне проводимости,  $v = 10^7 \text{ см}/\text{с}$  — тепловая скорость электронов) было оценено сечение захвата, которое оказалось равным  $10^{-18} \text{ см}^2$ . Смещение максимума в спектре ТСД в сторону низких температур с ростом электрического поля свидетельствует о наличии в монокристаллах  $\text{CaIn}_2\text{S}_4$  отталкивающих кулоновских центров [8].

Анализ спектра ТСД показывает, что увеличение степени начального заполнения центра захвата приводит к уменьшению температуры максимума (рис. 1) и для пика справедливо условие

$$\delta \geq e^{-1}(1 + 2kT_M/E_t),$$

где  $\delta = (T_2 - T_M)/(T_2 - T_1)$ ,  $T_1, T_2$  — температуры, при которых ток ТСД достигает половины максимума со стороны высокой и низкой температур. Это подтверждает гипотезу, что в монокристаллах  $\text{CaIn}_2\text{S}_4$  имеет место бимолекулярный механизм с сильным повторным захватом [9].

### Список литературы

- [1] В.Н. Вертопрахов, Е.Г. Сальман. *Термостимулированные токи в неорганических веществах* (Новосибирск, Наука, 1979).
- [2] Ю.А. Гороховатский. *Основы термодеполяризационного анализа* (М., Наука, 1981).
- [3] Ю.А. Гороховатский Г.А. Бордовский. *Термоактивационная токовая спектроскопия высокоменных полупроводников и диэлектриков* (М., Наука, 1991).
- [4] H. Hahn, U.W. Klingler. Z. Anorg. Chem., **260**, 97 (1949).
- [5] Б.Г. Тагиев, М.Г. Шахтахтинский, Б.М. Иzzатов, О.Б. Тагиев. Неорг. матер., **29**, 1392 (1993).
- [6] J.G. Simmons, G.W. Taylor. Phys. Rev. (B), **5**, 1619 (1972).
- [7] J.G. Simmons, G.S. Nadkarni. Phys. Rev. (B), **6**, 4815 (1972).
- [8] A.P. Kulshreshtha, I.J. Saunders. J. Phys. D: Appl. Phys., **8**, 1787 (1975).
- [9] Г.Г. Литовченко, В.М. Устинов. *Актуальные вопросы физики полупроводников и полупроводниковых приборов* (Вильнюс, 1969) с. 153.

Редактор Т.А. Полянская

**Currents of thermally stimulated depolarization in  $\text{CaIn}_2\text{S}_4$  single crystals**

*B.G. Tagiev, O.B. Tagiev, R.B. Dzhabarov, N.N. Musaeva*

Institute for Physics, Azerbaijan Academy of Sciences, 370143 Baku, Azerbaijan